

## TEMA 2 - MOVIMENTO GEOSTRÓFICO

- 2.1. Análise de Meso-escala da eq. do movimento
- 2.2. Movimento Geostrófico Barotrófico
- 2.3. Movimento Geostrófico Baroclínico
- 2.4. O Método Dinâmico
- 2.5. Ajustamento Geostrófico

## Lista de Slides

1. Escalas Básicas
2. Esquema mov. geostárfico barotrópico
3. Resultado do Modelo do Edmo
4. Estruturas ciclônicas e anticiclônicas
5. Vento térmico - adaptações Kundu (1990)
6. Condições barotrópicas e baroclínicas

①

## 2.1. Análise de Meso-escala da Eq. do Movimento

As equações do movimento e da continuidade são dadas por

$$\frac{Du}{Dt} - f v + \tilde{f} w = -\frac{1}{\rho} \frac{\partial p}{\partial x} + A_H \nabla_H^2 u + A_V \frac{\partial^2 u}{\partial z^2} \quad (1)$$

$$\frac{Dv}{Dt} + f u = -\frac{1}{\rho} \frac{\partial p}{\partial y} + A_H \nabla_H^2 v + A_V \frac{\partial^2 v}{\partial z^2} \quad (2)$$

$$\frac{Dw}{Dt} - \tilde{f} u = -\frac{1}{\rho} \frac{\partial p}{\partial z} - g + A_H \nabla_H^2 w + A_V \frac{\partial^2 w}{\partial z^2} \quad (3)$$

$$\frac{\partial u}{\partial x} + \frac{\partial v}{\partial y} + \frac{\partial w}{\partial z} = 0 \quad (4)$$

- As equações acima são complexas e compreendem todos os movimentos dos oceanos

• A análise de escalas ajuda a discernir qual o processo físico dinamicamente relevante numa particular situação de interesse.

- Para tanto, procedamos à análise de meso-escala do sistema (1)-(4) considerando as seguintes escalas básicas:

SLIDE : Escalas Básicas p/ Meso-escala

(2)

• Notemos que nem a escala da velocidade vertical  $w$  nem a escala da pressão foram fornecidas.

• A escala para  $w$  é obtida através da equação da continuidade:

$$\frac{W/H}{U/L} = O(1) \Rightarrow W = \frac{H}{L} U = 10^{-3} \text{ ms}^{-1}$$

(100x menor que a velocidade horizontal)

• Para a escala da pressão, em meso-escala, o mais razoável é assumir que a força do gradiente de pressão é da mesma ordem que a força da gravidade

$$\frac{1}{\rho} \frac{\partial p}{\partial z} = O(1) g$$

→ notemos que  $\rho$  cresce com a profundidade, mas no oceano, este valor não difere muito do valor médio  $\rho_0$ , ou seja:

$$\rho = \rho_0 + \rho'(x, y, z, t), \quad \frac{\rho'}{\rho_0} \ll 1 \quad (5)$$

• Por hora, então, escalaremos  $\rho$  por  $\rho_0$  - o maior valor.

$$P = \rho_0 g H = 10^7 \text{ Pa}$$

③

- Análise de escala da componente vertical da Eq. do mov.

$$\frac{Dw}{Dt} - \tilde{f}u = -\frac{1}{\rho} \frac{\partial p}{\partial z} - g - A_H \nabla_H^2 w + A_V \frac{\partial^2 w}{\partial z^2}$$

$$\frac{UW}{L} \quad \tilde{f}U \quad \frac{P}{\rho_0 H} \quad g \quad A_H \frac{W}{L^2} \quad A_V \frac{W}{H^2}$$

$$10^{-9} \quad 10^{-5} \quad 10 \quad 10 \quad 10^{-10} \quad 10^{-11}$$

• O balanço hidrostático domina a comp. vertical da eq. do mov. em meso-escala

• Obviamente há casos onde a aceleração vertical é importante. Exemplo mais evidente seria o das ondas de gravidade curtas.

- Análise de escala das componentes horizontais

$$\frac{Du}{Dt} - f v + \tilde{f} w = -\frac{1}{\rho} \frac{\partial p}{\partial x} + A_H \nabla_H^2 u + A_V \frac{\partial^2 u}{\partial z^2}$$

$$\frac{U^2}{L} \quad fU \quad \tilde{f}W = \frac{1}{\rho_0} \frac{P'}{L} + A_H \frac{U}{L^2} \quad A_V \frac{U}{H^2}$$

$$10^{-7} \quad 10^{-5} \quad 10^{-7} \quad 10^{-8} \quad 10^{-9}$$

• Note que a escala  $P$  não foi estabelecida. Assumamos que esta é pelo menos da ordem da força de Coriolis

• Se assim o fizermos,  $P' = \rho_0 f_0 U L = 10^3 \text{ Pa}$

(4)

• Esta escala é muito menor que a escala de  $P$  estimada pela equação hidrostática ( $P = 10^7 \text{ Pa}$ )

• A razão é que:

$$P = \underbrace{P_0(z)}_{\text{pressão hidrostática básica}} + \underbrace{p'(x, y, z, t)}_{\text{pressão geostrófica}} \quad (6)$$

• Assim, pela eq. hidrostática:

$$\frac{\partial P_0}{\partial z} = -\rho_0 g \quad \text{e} \quad \frac{\partial p'}{\partial z} = -\rho' g \quad (7)$$

• Assim, as eqs. resultantes da aprox. pela meso-escala são:

$$\left. \begin{aligned} -f v &= -\frac{1}{\rho} \frac{\partial p'}{\partial x} \\ f u &= -\frac{1}{\rho} \frac{\partial p'}{\partial y} \end{aligned} \right\} \begin{array}{l} \text{o movimento} \\ \text{(8) geostrófico é} \\ \text{estrictamente horizontal} \end{array}$$

$$g = -\frac{1}{\rho} \frac{\partial p'}{\partial z} \quad (9)$$

• Integremos, então, a eq. hidrostática verticalmente entre a superfície livre  $\eta$  e uma profundidade  $z$  qualquer:

$$p = p_{\text{atm}} + g \int_z^{\eta(x, y, t)} \rho dz \quad (10)$$

(5)

- Considerando apenas a pressão oceanográfica, podemos calcular o gradiente horizontal de pressão e obter:

$$\nabla_H P = g \rho(z=\eta) \nabla_H \eta + g \int_z^\eta \nabla_H \rho' dz \quad (11)$$

- A força do gradiente de pressão é dada por:

$$-\frac{1}{\rho} \nabla_H P = -g \nabla_H \eta - \frac{g}{\rho} \int_z^\eta \nabla_H \rho' dz \quad (12)$$

- o primeiro termo se refere à força do gradiente de pressão gerada por variações  $\eta$ . Independe da estratificação. Consiste na componente barotrópica desta força.
- o segundo termo se refere à componente gerada pela estratificação horizontal, ou seja, por variações laterais no campo de densidade. Consiste na componente baroclínica desta força.
- vetorialmente, a expressão para o movimento geostófico é dada por

$$f \vec{k} \times \vec{v} = -\frac{1}{\rho} \nabla_H P \quad (13)$$

- Assim, temos o movimento geostófico barotrópico e o baroclínico.

6

## 2.2. Movimento Geostrofico Barotrópico

- Consideremos inicialmente o caso da comp. do mov. geostrofico gerado apenas por variações da superfície livre do mar.

- Para tanto, consideremos o caso do oceano homogêneo

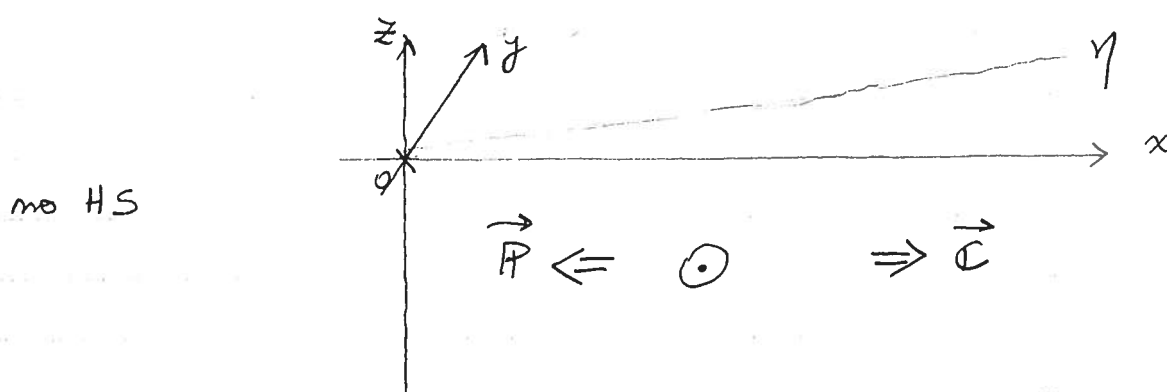
Da Eq. (5),  $\rho = \rho_0 = \text{const} \quad (\rho' = 0) \quad (14)$

- Com as eqs. (12) & (13) sob a condição (14), as eq. do mov. geostrofico barotrópico se tornam:

$$v = \frac{g}{f} \frac{\partial \eta}{\partial x} \quad \text{e} \quad u = -\frac{g}{f} \frac{\partial \eta}{\partial y} \quad (15)$$

- A título de exemplo, consideremos o caso simplificado em que  $\eta = \eta(x)$

SLIDE: Desenho Mov. Geost. BT com  $\eta = \eta(x)$



- Como  $\frac{\partial \eta}{\partial x} > 0$ , no HS:  $v$  é negativa (para o sul) ( $f < 0$ )

no HN:  $v$  é positiva (para o norte) ( $f > 0$ )



(7)

• Uma constatação das Eqs. (15) e sua interpretação é que o escoamento se dá ao longo das "curvas de nível", ou seja, é praticamente paralelo às isolinhas de  $\eta$ .

• Isto nos conduz à definição de uma função de corrente geostrofica

• Para tanto consideremos ou uma região relativamente pequena do oceano ou uma região onde a variação de  $f$  é razoavelmente pequena, ou seja,

$$f = f_0 = \text{const.}$$

• Pela não-divergência horizontal:

$$\frac{\partial u}{\partial x} + \frac{\partial v}{\partial y} = \frac{\partial^2}{\partial y \partial x} \left( -\frac{g\eta}{f_0} \right) + \frac{\partial^2}{\partial x \partial y} \left( \frac{g\eta}{f_0} \right) = 0$$

$$\Rightarrow \psi = \frac{g\eta}{f_0} \quad [m^2 s^{-1}] \quad (16)$$

SLIDE: Resultado do Modelo do Edm

SLIDE: Compreensão das estruturas ciclônicas e anticiclônicas no HS

• Mas como mostrar que em estruturas circulares não existem acelerações centrífugas importantes?

$$\frac{v^2}{R_c} = \frac{10^{-2}}{10^5} = 10^{-7} \text{ ms}^{-2} \rightarrow \text{note que } \frac{v^2}{R_c} = 10^{-2}!$$

(8)

- É como é a variação vertical das correntes geostóficas barotrópicas?
- Da Eq. (7), com  $p'=0$ , chegamos a  $\frac{\partial p'}{\partial z} = 0$ .
- Não há variação vertical do gradiente de pressão, o que é óbvio, visto que  $\eta = \eta(x, y)$  no caso mais geral.
- Ou seja, por  $\eta$  não ser função de  $z$ , a derivada vertical das Eq. (5) nos levam a

$$\frac{\partial u}{\partial z} = \frac{\partial v}{\partial z} = 0, \text{ ou seja } u \text{ e } v \text{ geotr. barotrópicas}$$

(17)  $\eta$  variam com a profundidade.

- Esta condição é habitualmente referida na literatura DFG como Teorema Taylor - Proudman.
- É o isalhamento vertical a principal motivação para confrontarmos as diferenças entre o escoamento geotr. barotrópico e baroclínico.

### 2.3. Movimento Geostrófico Baroclínico

- Consideremos de fato agora o caso em que  $\rho = \rho_0 + \rho'$  e  $\eta = 0$  (superfície plana)
- Tomando o grad. horizontal de Eq. (7),

$$\frac{\partial}{\partial z} \nabla_H \rho' = -g \nabla_H \rho' \quad (18)$$

- Quando as relações geostróficas,

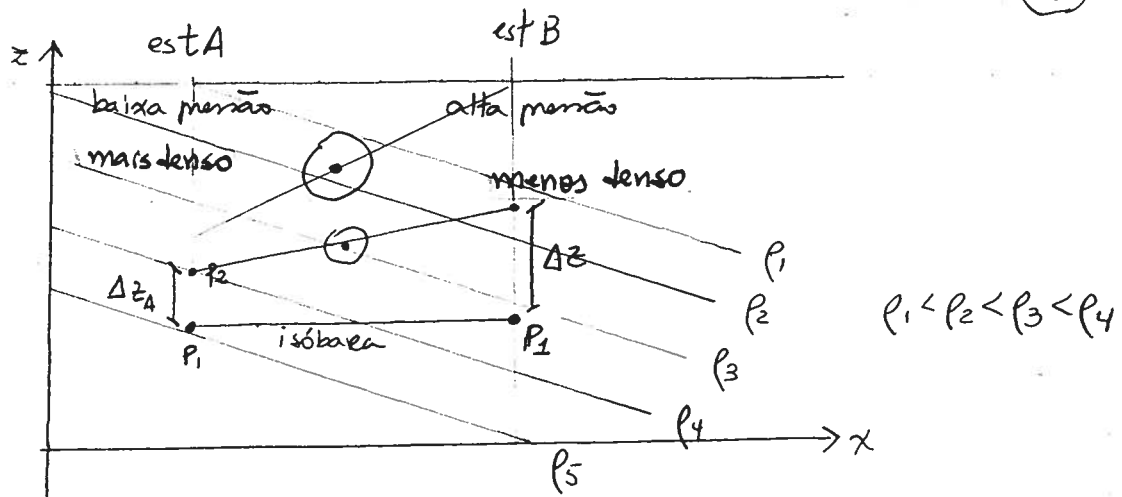
$$\frac{\partial v}{\partial z} = -\frac{g}{f} \frac{\partial \rho'}{\partial x} \quad (19)$$

$$\frac{\partial u}{\partial z} = \frac{g}{f} \frac{\partial \rho'}{\partial y}$$

- As relações da Eq. (19) foram denominadas pelo meteorologista de equações (relações) do vento térmico e expressam que na presença de variações laterais de densidade, há cisalhamento vertical da velocidade geostrófica.
- Tentemos entender este princípio graficamente:

SLIDE: Vento Térmico do Kundu (1990)

(10)



na localidade (A) :  $\Delta P_A = \bar{\rho}_A g \Delta z_A$

na localidade (B) :  $\Delta P_B = \bar{\rho}_B g \Delta z_B$

Mas :  $\Delta P_A = \Delta P_B = \Delta P = p_1 - p_2$ ,

e  $\bar{\rho}_A > \bar{\rho}_B \Rightarrow \Delta z_B > \Delta z_A$

→ Consideremos a Eq (18) :  $\frac{\partial v}{\partial z} = \underbrace{-\frac{g}{f\rho}}_{>0} \underbrace{\frac{\partial f}{\partial x}}_{<0}$

variação vertical  
de  $v$  é negativa

$\Rightarrow v$  cresce em  
magnitude  
 $v$  é mais negativo  
 próx à superfície

SLIDE : Contingências barotróficas e baroclínicas

## 2.4. O Método Dinâmico

- A ponte baroclínica das correntes geostóficas pode ser estimada se conhecido a estrutura de densidade.
- Para tanto, integremos as equações do vento Térmico entre o nível  $z$  qualquer e o nível  $-H_0$ , onde assumimos ou que as isopícnas são // às isóbaras ou há o cancelamento da mudança de inflexão nas isopícnas.

• Obtemos assim:

$$v(z) - v(-H_0) = -\frac{g}{f} \int_{-H_0}^z \frac{1}{\rho} \frac{\partial \rho}{\partial x} dz' \quad (20)$$

$$u(z) - u(-H_0) = \frac{g}{f} \int_{-H_0}^z \frac{1}{\rho} \frac{\partial \rho}{\partial y} dz'$$

• Estas expressões podem ser avaliadas na série de perfis de densidade, inferidos pela equação de estado a partir dos perfis observados de temperatura.

• Em termos de velocidade, o nível  $z = -H_0$  pode ser entendido como uma profundidade em torno da qual a velocidade é considerada zero. Por isto, historicamente  $z = -H_0$  é conhecido como nível de movimento nulo.

• Estas equações, quando discretizadas, constituem no Método Dinâmico.

(12)

• O uso do método Dinâmico é mais comum em coordenadas isobáricas. Para tanto, utilizamos a equação hidrostática:

$$v(p) = \frac{1}{f} \frac{\partial}{\partial x} \int_{p_0}^p \alpha \, dp \quad (21)$$

$$u(p) = -\frac{1}{f} \frac{\partial}{\partial y} \int_{p_0}^p \alpha \, dp$$

onde  $\alpha = \rho^{-1}$ , o volume específico

$$\left[ \text{Lembrar que } \frac{\partial \alpha^{-1}}{\partial x} = -\alpha^{-2} \frac{\partial \alpha}{\partial x} = -\frac{1}{\rho^2} \frac{\partial \rho}{\partial x} \right]$$

• A quantidade integral é conhecida como geopotencial

$$\Phi = \int_{p_0}^p \alpha \, dp, \quad \alpha = \bar{\alpha}(p) + \delta(x, y, p)$$

$[m^2 s^{-2}]$

$$\Phi = \underbrace{\bar{\Phi}(p)}_{\text{geopotencial padrão}} + \underbrace{\Delta \Phi(x, y, p)}_{\text{anomalia do geopotencial}}$$

• Assim, podemos reescrever (21) como

$$v(p) = \frac{\partial}{\partial x} \left( \frac{\Delta \Phi}{f_0} \right), \quad u(p) = -\frac{\partial}{\partial y} \left( \frac{\Delta \Phi}{f_0} \right)$$

$$\Rightarrow \boxed{\psi = \frac{\Delta \Phi}{f_0}} \quad \text{função de corrente geom. baroclínica}$$

SLIDE: Topografia dinâmica

# Ajustamento geostrofico (Korby, 1938)

- Consideremos as equações do movimento num oceano homogêneo de fundo plano no plano  $f$   
 $(z = -H)$   $(f = f_0)$

$$\frac{\partial u}{\partial t} - f_0 v = -g \frac{\partial \eta}{\partial x} \quad (1)$$

$$\frac{\partial v}{\partial t} + f_0 u = -g \frac{\partial \eta}{\partial y} \quad (2)$$

A Eq. da continuidade é dada por

$$\frac{\partial \eta}{\partial t} + H \left( \frac{\partial u}{\partial x} + \frac{\partial v}{\partial y} \right) = 0 \quad (3) \rightarrow \left( \frac{\partial u}{\partial x} + \frac{\partial v}{\partial y} \right) = -\frac{1}{H} \frac{\partial \eta}{\partial t}$$

Tomando a divergência de (1)-(2) e usando (3) para eliminar o termo da divergência:

$$\begin{aligned} \frac{\partial}{\partial t} \left( \frac{\partial u}{\partial x} \right) - f_0 \frac{\partial v}{\partial x} &= -g \frac{\partial^2 \eta}{\partial x^2} \\ + \\ \frac{\partial}{\partial t} \left( \frac{\partial v}{\partial y} \right) + f_0 \frac{\partial u}{\partial y} &= -g \frac{\partial^2 \eta}{\partial y^2} \end{aligned}$$

$$\frac{\partial}{\partial t} \left( \frac{\partial u}{\partial x} + \frac{\partial v}{\partial y} \right) - f_0 \left( \frac{\partial v}{\partial x} - \frac{\partial u}{\partial y} \right) + g \left( \frac{\partial^2 \eta}{\partial x^2} + \frac{\partial^2 \eta}{\partial y^2} \right) = 0$$

$$\frac{\partial^2 \eta}{\partial t^2} - \underbrace{gH}_{c^2} \left( \frac{\partial^2 \eta}{\partial x^2} + \frac{\partial^2 \eta}{\partial y^2} \right) + f_0 H \delta = 0 \quad (4)$$

Agora, tomemos a rotacional de (1) e (2) para obter a equação da vorticidade absoluta

$$\frac{\partial \mathcal{S}}{\partial t} + f_0 \left( \frac{\partial u}{\partial x} + \frac{\partial v}{\partial y} \right) = 0 \quad (5)$$

Novamente usamos (3) para substituir a divergência horizontal

$$\frac{\partial}{\partial t} \left( \mathcal{S} - \frac{f_0}{H} \eta \right) = 0 \quad (6)$$

(6) é forma linearizada da conservação de vorticidade de potencial. A quantidade entre parênteses é:

$$Q = \frac{q}{H} = \frac{\mathcal{S}}{H} - \frac{f_0}{H^2} \eta$$

é a anomalia da vorticidade potencial.

Por (6),  $Q$  é conservada, ou seja,

$$Q(x, y, t) = Q(x, y, 0) \quad (7)$$

Consideremos uma condição inicial em que :

$$u = v = 0 \quad \text{e} \quad \eta = -\eta_0 \operatorname{sgn}(x) \quad (8)$$

$$\operatorname{sgn}(x) = \begin{cases} 1 & \text{para } x > 0 \\ -1 & \text{para } x < 0 \end{cases}$$



Assim,  $\frac{\beta}{H} - \frac{f_0}{H^2} \eta = \frac{f_0}{H^2} \eta_0 \operatorname{sgn}(x)$  AG 3 (9)

Com (9) em (4) para eliminar  $\beta$ ,

$$\frac{\partial^2 \eta}{\partial t^2} - c^2 \nabla_H^2 \eta + f_0^2 \eta = -f_0^2 \eta_0 \operatorname{sgn}(x) \quad (10)$$

### Solução Estacionária

De volta às eqs. (1)-(3), com  $\frac{\partial}{\partial t} = 0$ :

$$f_0 u = -g \frac{\partial \eta}{\partial y} ; \quad f_0 v = g \frac{\partial \eta}{\partial x} \quad (11)$$

$$\frac{\partial u}{\partial x} + \frac{\partial v}{\partial y} = 0 \quad (12) \Leftrightarrow u = -\frac{\partial \psi}{\partial y}, \quad v = \frac{\partial \psi}{\partial x} \quad (13)$$

Por (11) e (13):  $f_0 \psi = g \eta = p'/\rho$ .

$$\beta = \frac{g}{f_0} \nabla_H^2 \eta = \nabla^2 \psi \quad (14)$$

A versão estacionária de (10) e considerando  $\eta = \eta(x)e'$

$$-c^2 \frac{\partial^2 \eta}{\partial x^2} + f_0^2 \eta = -f_0^2 \eta_0 \operatorname{sgn}(x) \quad (15)$$

A solução que é contínua e assimétrica em torno de  $x=0$  é:

$$\frac{\eta}{\eta_0} = \begin{cases} -1 + e^{-x/R_d} & \text{para } x > 0 \\ 1 - e^{+x/R_d} & \text{para } x < 0 \end{cases} \quad (16)$$

onde:  $R_{de} = \frac{c}{|f_0|} = \frac{\sqrt{gH}}{|f_0|}$

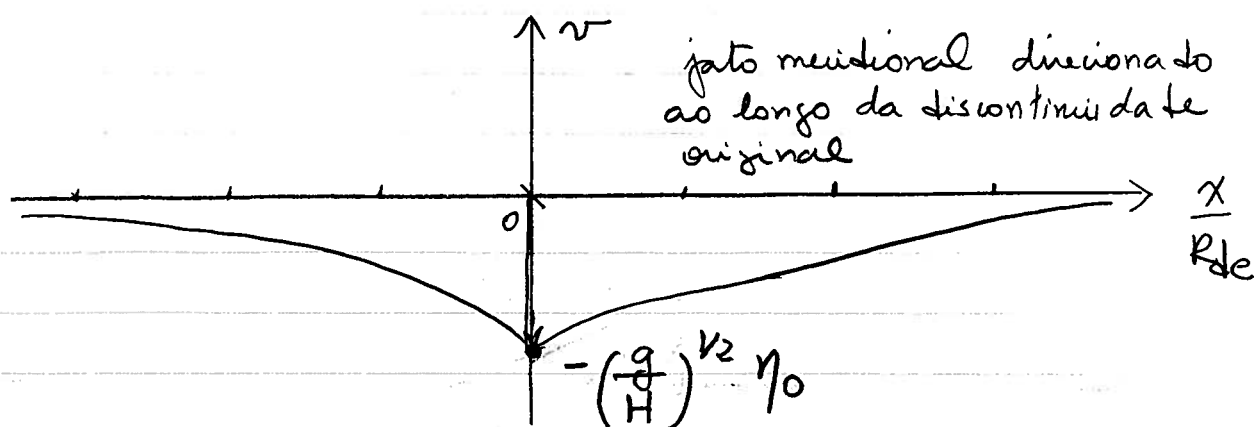
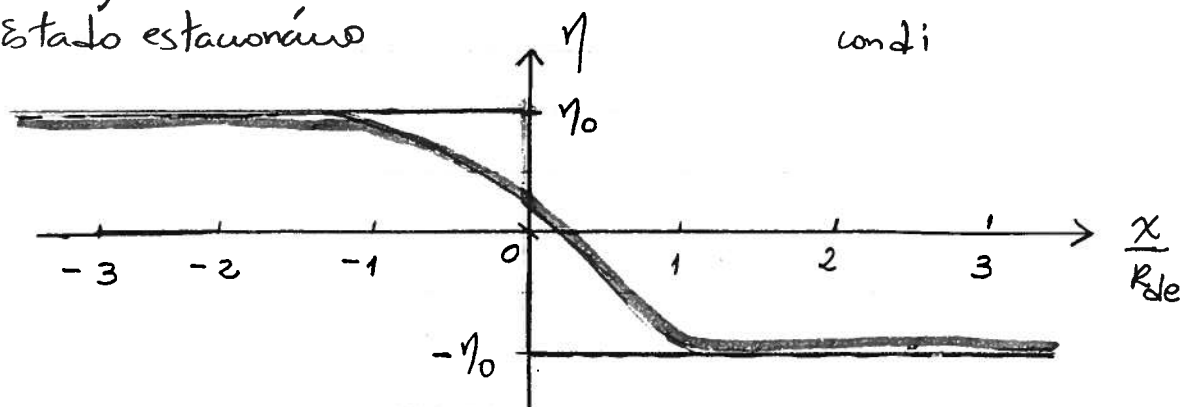
→ Notem que a escala fundamental da solução é o raio externo de deformação

O campo de velocidades a ser obtido resulta da aplicação de (16) em (11):

$$u = 0$$

$$v = -\frac{g}{f_0} \eta_0 \left( \frac{1}{R_{de}} e^{-\frac{x}{R_{de}}} \right) \quad (17)$$

— Condição inicial  
— Estado estacionário



## RESUMO - Movimento Geostrofico

- Análise de Meso-escala da Eq. do Movimento

• O sistema de equações hidrodinâmicas é dado por

$$\frac{Du}{Dt} - f v + \tilde{f} w = -\frac{1}{\rho} \frac{\partial p}{\partial x} + A_H \nabla_H^2 u + A_V \frac{\partial^2 u}{\partial z^2} \quad (1)$$

$$\frac{Dv}{Dt} + f u = -\frac{1}{\rho} \frac{\partial p}{\partial y} + A_H \nabla_H^2 v + A_V \frac{\partial^2 v}{\partial z^2} \quad (2)$$

$$\frac{Dw}{Dt} - \tilde{f} u = -\frac{1}{\rho} \frac{\partial p}{\partial z} - g + A_H \nabla_H^2 w + A_V \frac{\partial^2 w}{\partial z^2} \quad (3)$$

$$\frac{\partial u}{\partial x} + \frac{\partial v}{\partial y} + \frac{\partial w}{\partial z} = 0 \quad (4)$$

• As eq. acima são complexas e compreendem todos os movimentos dos oceanos.

• Fluidos-dinamicistas introduziram o conceito de análise de escalas de movimento para descobrir qual o balanço dominante numa particular situação de interesse.

• Estas escalas, ao invés de serem quantidades definidas precisamente, consistem em estimativas e devem ser entendidas apenas em termos de ordem de grandeza.

• Na maioria dos problemas físicos, as escalas-chave são tempo ( $\tau$ ), velocidade ( $U$ ), comprimento ( $L$ ).

• Em meso-escala, comumente referida, com  $L = 10^5 \text{ m}$ , as escalas básicas são.  $\rightarrow$  mencionar anisotropia espacial ( $H, W$ )

• Parâmetros / coeficientes:  $A_H = 10^3 \text{ m}^2 \text{ s}^{-1}$ ,  $A_V = 10^{-2} \text{ m}^2 \text{ s}^{-1}$ ,  $f = \tilde{f} = 10^{-4} \text{ s}^{-1}$

• Pela continuidade,  $\bar{W} = \frac{H}{L} U = \delta U = 10^{-3} \text{ m s}^{-1}$ .

- A inspeção de (1)-(3) leva a nos dizer que a escala da pressão e da densidade. Para a pressão,  $\rho = \rho_0 + \rho'$ , num primeiro momento assumir que a força do grad de pressão vertical / massa é da ordem da força da gravidade:

$$\frac{\frac{1}{\rho} \frac{\partial p}{\partial z}}{g} = O(1) \quad (5)$$

- Chamamos atenção que a densidade cresce com a profundidade e pode tb variar lateralmente. No entanto, este valor pouco difere do valor médio  $\rho_0$ , ou seja,

$$\underbrace{\rho_0}_{\text{escala básica}} + \underbrace{\rho'(x,y,z,t)}_{\text{escala de var de } \rho} \rightarrow \frac{\Delta \rho}{\rho_0} \ll 1 \quad (6)$$

- Por hora escalemos a pressão usando a rel. hidrostática e o maior valor de referência de  $\rho$ :  $\rho_0$ :  $P = \rho_0 g H = O(10^7 \text{ Pa})$

- Certamente, pela superfície da eq. (5), a comp. vertical da Eq. mov:

$$\underbrace{\frac{Dw}{Dt}}_{10^{-9}} - \underbrace{\tilde{f}w}_{10^{-5}} = - \underbrace{\frac{1}{\rho} \frac{\partial p}{\partial z}}_{10} - \underbrace{g}_{10} - \underbrace{A_H \nabla_H^2 w}_{10^{-10}} + \underbrace{A_V \frac{\partial^2 w}{\partial z^2}}_{10^{-11}}$$

- Para exemplificar a análise de meso-escala da eq. mov. horizontal  $\rightarrow$  comp. zonal.

$$\underbrace{\frac{Du}{Dt}}_{10^{-7}} - \underbrace{fu}_{10^{-5}} + \underbrace{\tilde{f}w}_{10^{-7}} = - \underbrace{\frac{1}{\rho} \frac{\partial p}{\partial x}}_{10^{-8}} + \underbrace{A_H \nabla_H^2 u}_{10^{-8}} + \underbrace{A_V \frac{\partial^2 u}{\partial z^2}}_{10^{-9}}$$

- Caso usemos a escala de pressão determinada anteriormente, a força do gradiente horizontal de pressão seria muito maior que os demais termos.

- Vamos um raciocínio análogo ao da densidade e suponhamos que:

$$p = \underbrace{p_0(z)}_P + \underbrace{p'(x,y,z,t)}_{\Delta P} \quad (7)$$

- Orazoável é assumir que  $\Delta P$  tenha uma determinada grandeza que balanceie a força de Coriolis, logo:

$$\Delta P = \rho_0 f U L = 10^3 \text{ Pa}$$

- Nesta hipótese, as eq. resultantes são:

$$\left. \begin{aligned} -fv &= -\frac{1}{\rho} \frac{\partial p'}{\partial x} \\ fu &= -\frac{1}{\rho} \frac{\partial p'}{\partial y} \end{aligned} \right\} \quad (8) \quad \begin{array}{l} \text{mov. totalmente horizontal} \\ \rightarrow \text{quasi-geo} \end{array}$$

$$g = -\frac{1}{\rho} \frac{\partial p}{\partial z} \rightarrow \frac{\partial p'}{\partial z} = -\rho' g ; \frac{\partial p_0}{\partial z} = -\rho_0 g \quad (9)$$

- ANÁLISE DE (8)-(9):

- para líquidos fluentes quasi-estáticos, a pressão é muito menor que aquela hidrostática básica devido ao peso do fluido.
- o movimento se dá ao longo das isobaras - as parcelas de fluido fluem ao longo de  $p = \text{const}$  (ou  $p' = \text{const}$ )
- não há trabalho no fluido pela pressão ou pelo fluido na pressão - ou seja uma vez inicial, o escoamento pode persistir sem uma contínua da fonte de energia.
- o movimento quasi-estático é isobárico. isóbaras são linhas de corrente quasi-estáticas.

• Integração vertical da eq. (9):  $p = p_{atm} + g \int_z^{\eta(x,y)} \rho \cdot dz$  (10)

• Usando a regra de Leibniz, podemos calcular o grad. horizontal de pressão:

$$\nabla_H p = g \rho(z=\eta) \nabla_H \eta + g \int_z^{\eta} \nabla_H \rho \, dz \quad (11)$$

• a força do grad:  $-\frac{1}{\rho} \nabla_H p = -g \nabla_H \eta - g \int_z^{\eta} \nabla_H \rho \, dz$  (12)

depende da topografia da sup. livre do mar

BAROTRÓPICA

depende da topografia das isopícnas

→ variações laterais de densidade  
BAROCLÍNICA

### Movimento Geostrofico Barotrópico

• Isolarmos o efeito de  $\eta$ :  $p' = 0 \Rightarrow p = p_0$

$$(8) \rightarrow v = \frac{g}{f} \frac{\partial \eta}{\partial x}, \quad u = -\frac{g}{f} \frac{\partial \eta}{\partial y} \quad (13)$$

ex: HN

→ faça gráfico usando  $\eta = \eta(x)$ , por simplicidade < ex: HS

• E caso os movimentos sejam circulares? Em coord. naturais, as acelerações inerciais tomam forma de  $\frac{v^2}{R_C} \xrightarrow{\text{MESO}} 10^{-7} \text{ m s}^{-1}$   
 $R_C \rightarrow \text{raio do vort.}$

• Com  $p' = 0 \rightarrow \frac{\partial p'}{\partial z} = 0 \Rightarrow \frac{\partial v}{\partial z} = \frac{\partial u}{\partial z} = 0$  } Teorema de Taylor Proudman  
(14) EXPLORAR COERÊNCIA VERTICAL

• Caso olhemos para uma região onde  $f \sim \text{const}$ , podemos definir uma função de corrente visto que  $\nabla_H \cdot \vec{V} = 0$ .

$$\psi = \frac{g}{f} \eta \rightarrow \text{as curvas de nível da sup. oceânica são linhas de corrente geostroficas} \quad (15)$$

# Movimento Geostrófico Baroclínico

• Fazemos agora  $\eta = 0$ ,  $\rho = \rho_0 + \rho'$

• Tomando o  $\nabla_H$  (7) :  $\frac{\partial}{\partial z} \nabla_H \rho' = -g \nabla_H \rho'$  (16)

• Fazendo  $\frac{\partial}{\partial z}$  (8) e usando (16) :  $\frac{\partial v}{\partial z} = -\frac{g}{\rho f} \frac{\partial \rho'}{\partial x}$ ,  $\frac{\partial u}{\partial z} = \frac{g}{\rho f} \frac{\partial \rho'}{\partial y}$  (17)

→ relações do do vento térmico : há a salinidade vertical de correntes se houver gradientes laterais de densidade.

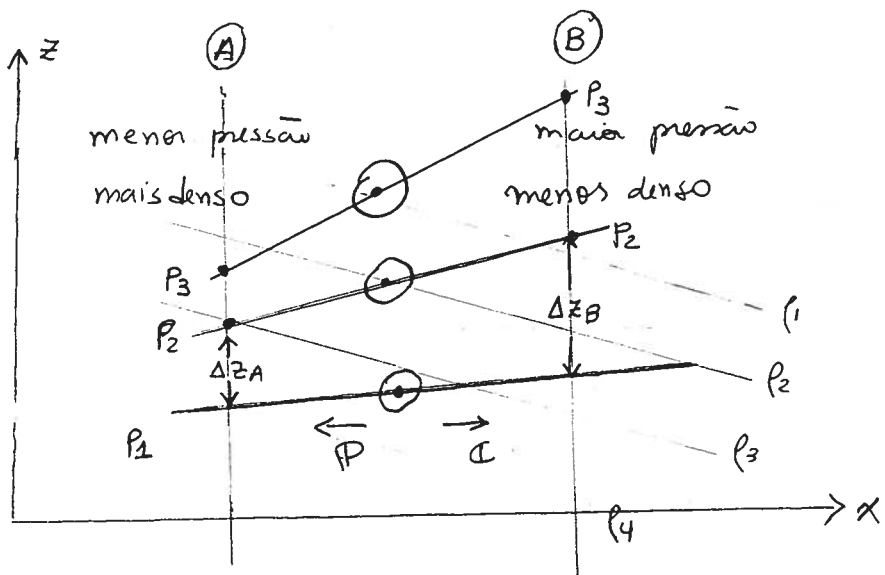
→ comparar com Taylor-Proudman → quebra na "viscosidade - rigidez" vertical

• Interpretação gráfica

(HS)

$$\frac{\partial \rho}{\partial x} > 0 \text{ e}$$

cresce em magnitude c/  
em direção à sup



na localidade (A) :  $\Delta P_A = \Delta P = \bar{\rho}_A g \Delta z_A$

" (B) :  $\Delta P_B = \Delta P = \bar{\rho}_B g \Delta z_B$

como  $\bar{\rho}_A > \bar{\rho}_B \rightarrow \Delta z_B > \Delta z_A$

variaç. neg.

• Voltamos à relação (17) :  $\frac{\partial v}{\partial z} = -\frac{g}{\rho f} \frac{\partial \rho}{\partial x} < 0$

variação vertical negativa. → v. cresce em mag.

(v torna-se mais negativo)

## O Método Dinâmico

- Parte baroclínica das correntes pode ser estimada pela estrutura de densidade

$$v(z) - v(-H_0) = -g \int_{-H_0}^z \frac{1}{\rho} \frac{\partial \rho}{\partial x} dz_* \quad (18)$$

$z = -H_0$ , nível de referência, nível de mov. nulo p/ antigos

- Mais comum escrever (18) em coord. isobáricas:

$$v(p) = \frac{1}{f} \frac{\partial}{\partial x} \int_{p_0}^p \alpha dp_* \stackrel{\text{BIZU}}{\Rightarrow} \left[ \frac{\partial \alpha^{-1}}{\partial x} = -\alpha^{-2} \frac{\partial \alpha}{\partial x} = -\frac{1}{\rho^2} \frac{\partial \alpha}{\partial x} \right] \quad (19)$$

- A quantidade integral é conhecida como geopotencial

$$\Phi = \int_{p_0}^p \alpha dp_* \quad , \quad \alpha = \bar{\alpha}(p) + \delta \alpha(x, y, p)$$

$$\Phi = \bar{\Phi}(p) + \underbrace{\Delta \Phi(x, y, p)}_{\text{anomalia}}$$

- (19):  $v(p) = \frac{\partial}{\partial x} \left( \frac{\Delta \Phi}{f} \right)$  e analogamente,  $u(p) = \frac{\partial}{\partial y} \left( \frac{\Delta \Phi}{f} \right)$

$$\rightarrow \psi = \frac{\Delta \Phi}{f} \quad : \quad \text{função de corrente geost. baroclínica} \quad (19)$$



## Ajustamento Geostrofico (Rossby, 1938)

- Considere oceano barotrópico ( $\rho = \rho_0$ ),  $f = \text{const}$ , inviscido

$$\underbrace{\left( \frac{\partial u}{\partial x} + \frac{\partial v}{\partial y} \right) \int_{-H}^{\eta} dz + w \Big|_{-H}^{\eta}}_{u \text{ e } v \text{ n\~{a}o s\~{a}o f\~{u}n\~{c}o\~{e}s \text{ de } z} = 0$$

$$w = \frac{D\eta}{Dt} \text{ em sup. e } w = 0 \text{ no fundo plano}$$

$$\frac{D\eta}{Dt} + (H + \eta) \left( \frac{\partial u}{\partial x} + \frac{\partial v}{\partial y} \right) = 0$$

→ linearizar assumindo que  $\frac{\vec{V}_H \cdot \nabla \eta}{\frac{\partial \eta}{\partial t}} \ll 1$  e  $\frac{\eta}{H} \ll 1$ ,

$$\frac{\partial \eta}{\partial t} + H \left( \frac{\partial u}{\partial x} + \frac{\partial v}{\partial y} \right) = 0 \quad (20)$$

→ analogamente, podemos linearizar as eq (1)(2):

$$\frac{\partial u}{\partial t} - f v = -g \frac{\partial \eta}{\partial x} \quad (21)$$

$$\frac{\partial v}{\partial t} + f u = -g \frac{\partial \eta}{\partial y} \quad (22)$$

• Fazendo  $\frac{\partial}{\partial x} (21) + \frac{\partial}{\partial y} (22)$  e usando (20):

$$\frac{\partial^2 \eta}{\partial t^2} - \frac{gH}{c^2} \nabla_H^2 \eta + f_0 H \zeta = 0, \quad \zeta = \frac{\partial u}{\partial x} - \frac{\partial v}{\partial y} \quad (23)$$

• Fazendo  $-\frac{\partial}{\partial y} (21) + \frac{\partial}{\partial x} (22)$ :  $\frac{\partial^2 \eta}{\partial t^2} + f \left( \frac{\partial u}{\partial x} + \frac{\partial v}{\partial y} \right) = 0$  (24)

• Com (20) em (24):  $\frac{\partial}{\partial t} \left( \underbrace{\beta - \frac{f}{H} \eta}_{Q} \right) = 0$  (25)

$Q$  - forma linearizada  
da eq de Ertel

• De acordo com (25),  $Q(x, y, t) = Q(x, y, 0)$  (26)

• Consideremos um cond. Inicial tal que:

$$u = v = 0 \text{ e } \eta = -\eta_0 \sin(x) \begin{cases} 1, & p/x > 0 \\ -1 & p/x < 0 \end{cases} \quad (27)$$

→ (27) em (28):  $\frac{\beta}{H} - \frac{f_0}{H^2} \eta = \frac{f_0}{H^2} \eta_0 \sin(x)$  (28)

(28) em (23) p/ eliminam  $\beta$ :

$$\frac{\partial^2 \eta}{\partial t^2} - c^2 \nabla_H^2 \eta + f_0^2 \eta = -f_0^2 \eta_0 \sin(x) \quad (29)$$

• A solução estacionária de (29) para o caso simplificado  $\eta = \eta(x)$ ,

$$-c^2 \frac{\partial^2 \eta}{\partial x^2} + f_0^2 \eta = -f_0^2 \eta_0 \sin(x)$$

$$\frac{\partial^2 \eta}{\partial x^2} - \frac{1}{R_{de}^2} \eta = \frac{1}{R_{de}^2} \eta_0 \sin(x) \quad (30)$$

cujas soluções é:  $\frac{\eta}{\eta_0} = \begin{cases} -1 + e^{-x/R_{de}} & p/x > 0 \\ 1 - e^{x/R_{de}} & \text{para } x < 0 \end{cases} \quad (31)$

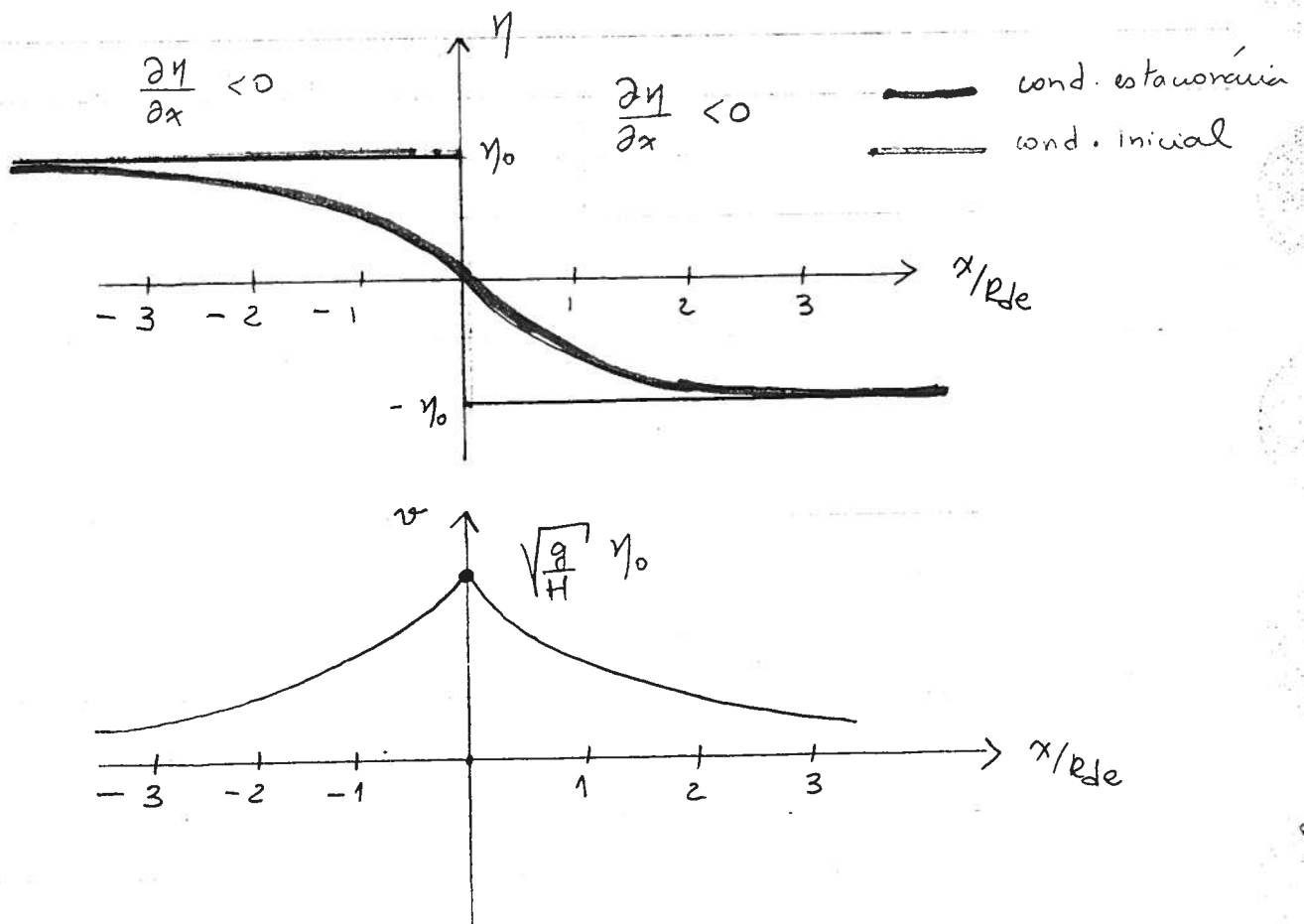
→ escala fundamental da solução é a quantidade  $R_{de}$ !

R 02.09

O campo de velocidade tb advém das soluções estacionárias de (21) (22), que são as relações quadráticas. A saber (31) nelas,

$$u = 0 \quad e \quad v = -\frac{g}{f} \frac{\eta_0}{R_{de}} \begin{cases} e^{-x/R_{de}} & p/x > 0 \\ e^{x/R_{de}} & p/x < 0 \end{cases}$$

$$-\frac{g}{f} \frac{|f|}{\sqrt{gH}} = -\frac{g}{|f|} \frac{|f|}{\sqrt{gH}} = \sqrt{\frac{g}{H}}$$



→ comentar que a perturbação original conduziu ao balanço quadrático  
 $v \perp \frac{\partial \eta}{\partial x} \rightarrow v \neq \eta!$